Séparateur de haute résolution pour DESIR

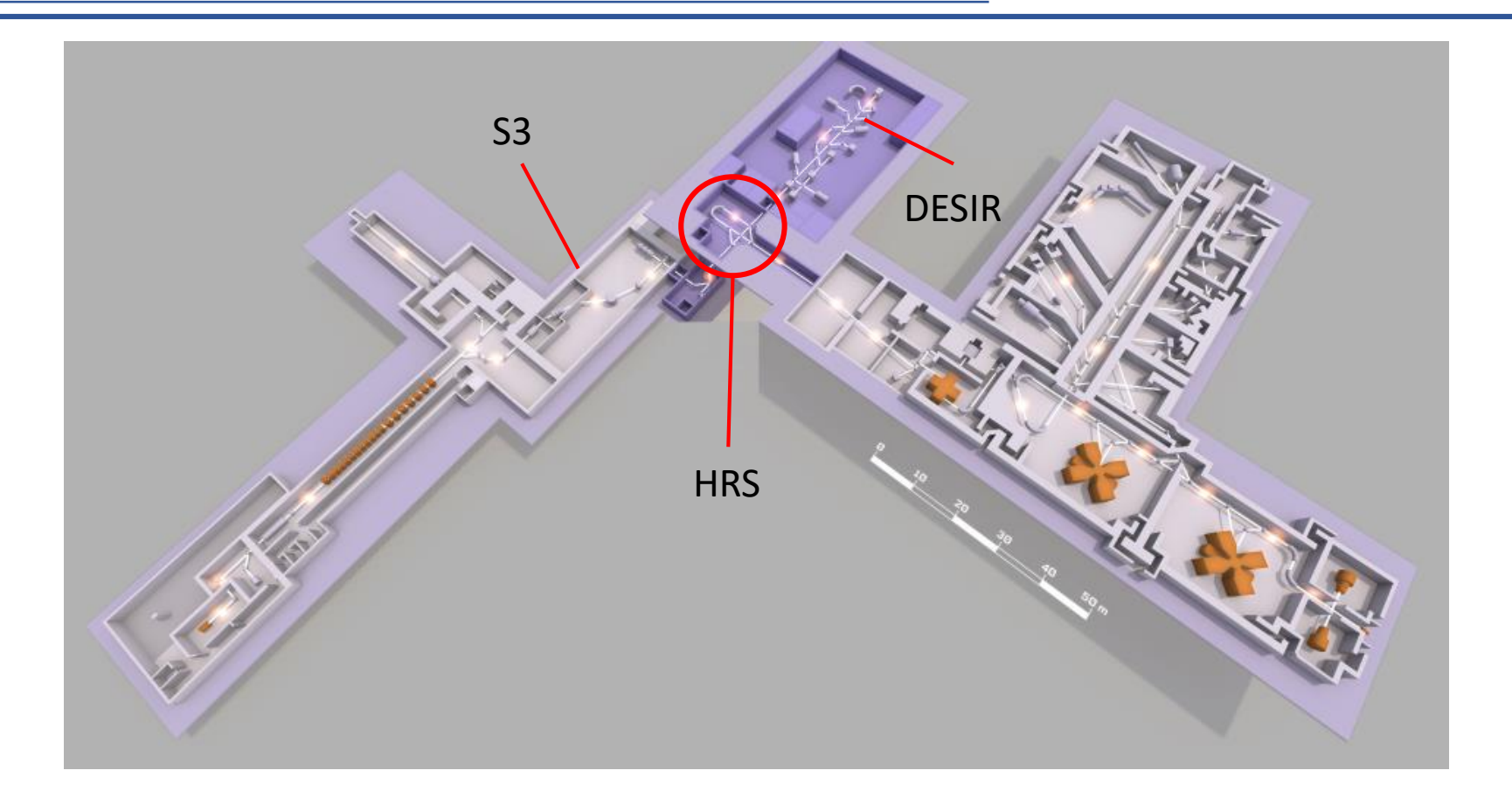
Mise en service et développements

16/12/2021

Julien Michaud

Sommaire

- 1. Présentation du HRS
- 2. Développements techniques
- 3. Résultats, conclusion



- Purification de faisceaux pour la physique de DESIR
 - Séparation d'isobars
 - ➤ Moins de radioactivité transportée à DESIR (zone verte)

- Faisceaux provenant de :
 - > SPIRAL1
 - > SPIRAL2 / S3

Dans le monde

ISOLDE (CERN)	Triumf	SPES Argonne	DESIR (GANIL/CENBG)	
$R_{max} = 5000$	$R_{max} = 10000$	$R_{th\'eorique} = 20000$	$12500 < R_{max} < 20000$	
Année de construction : 1992	1 ^{er} faisceau en 2019	?	• $\epsilon = 3-4 \pi.mm.mrad$ • E = 25keV • Transmission = 100% • Faisceau de 1mm² • $\frac{\Delta E}{E} < 10^{-5}$	
Nouvel HRS en phase de design/construction			Fin commissioning et envoi à DESIR en 2023	

HRS : **H**igh **R**esolution mass **S**eparator

Structure générale:

D: Deux dipoles magnétiques (90° chacun)

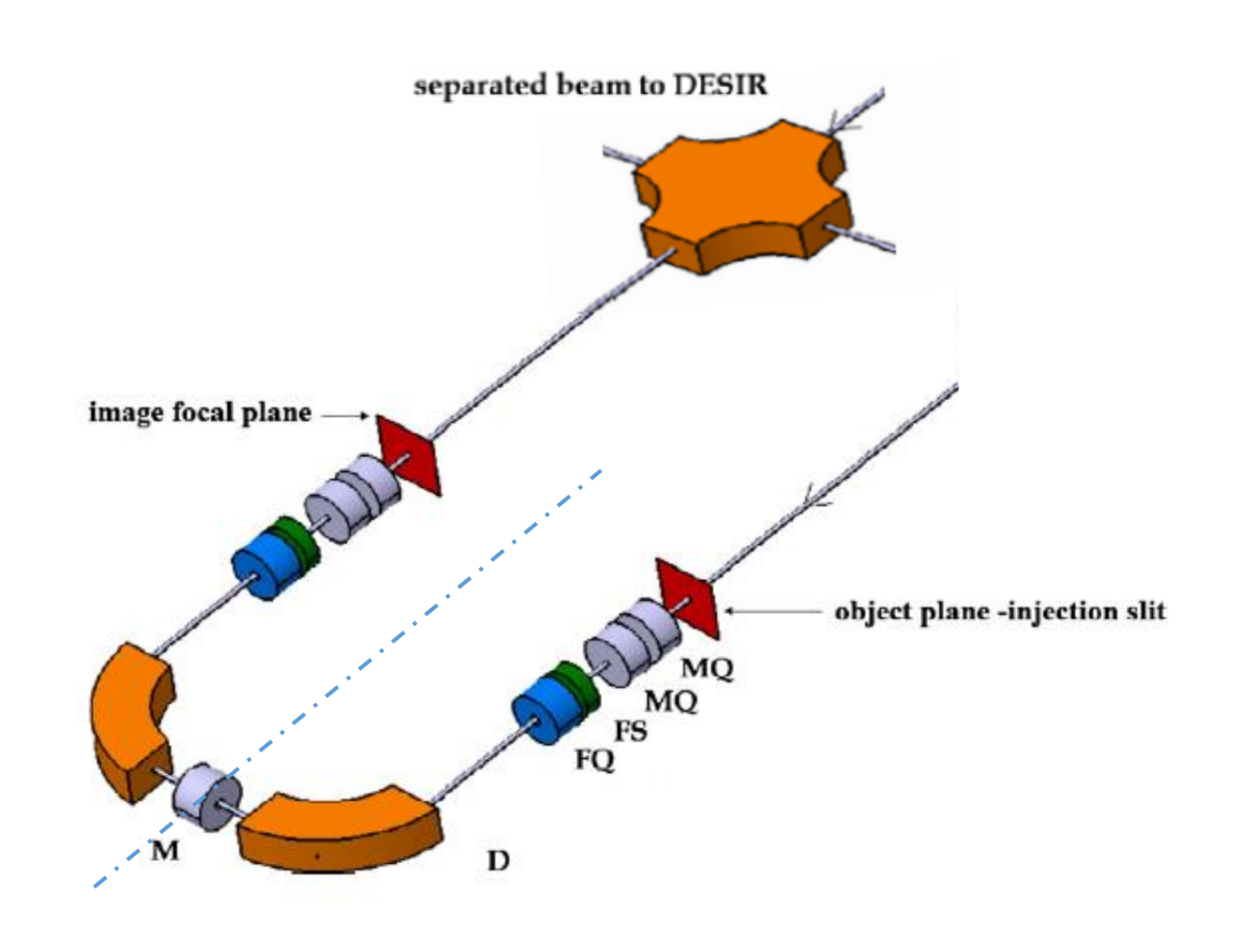
MQ: Matching quadrupoles
FQ: Focusing quadrupoles
FS: Focusing sextupoles
M: Multipole (ordre 5)

Electrostatique

Configuration: MQ-MQ-FS-FQ-D- $\dot{\text{M}}$ -D-FQ-FS-MQ-MQ

La symétrie miroir permet de minimiser les aberrations

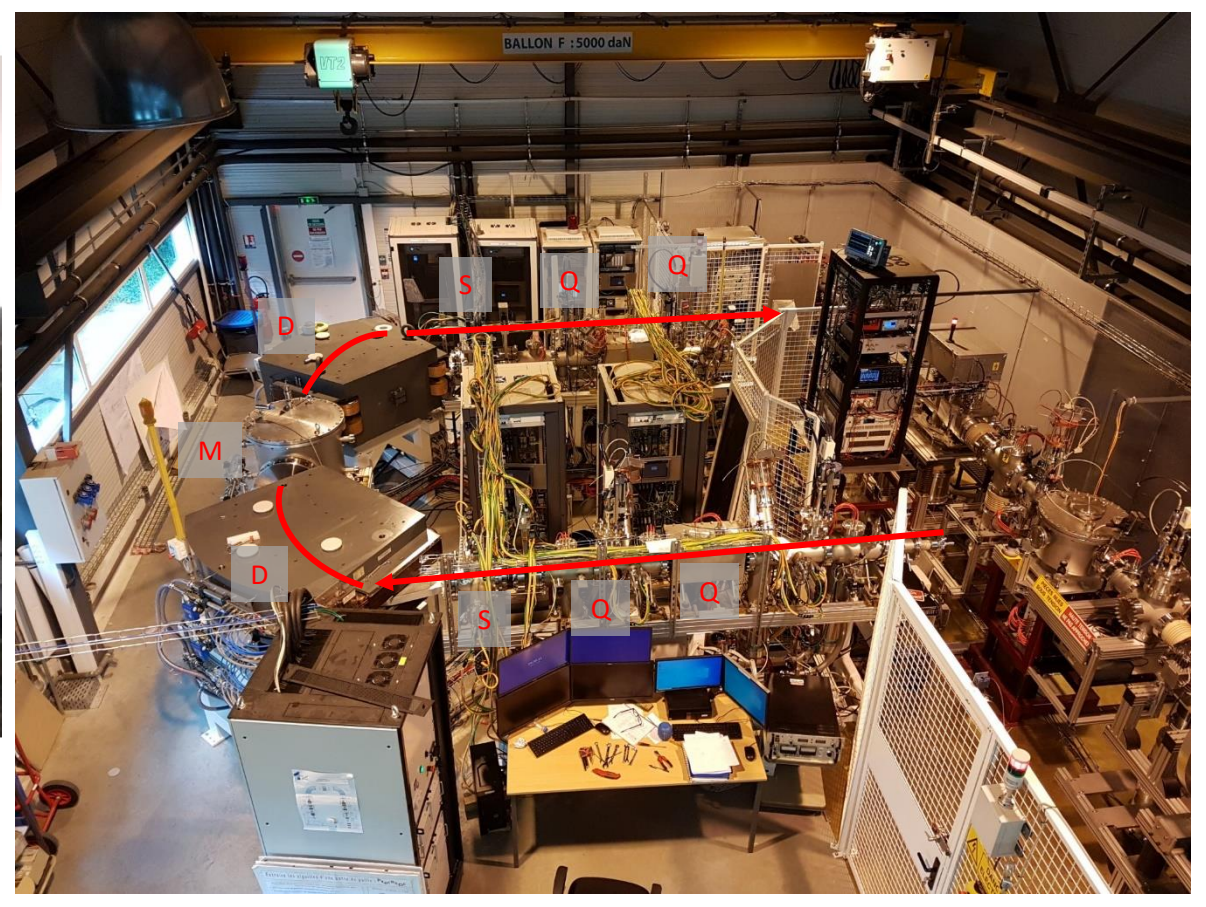
Résolution en
$$\frac{\Delta M}{M}$$
 = 20000



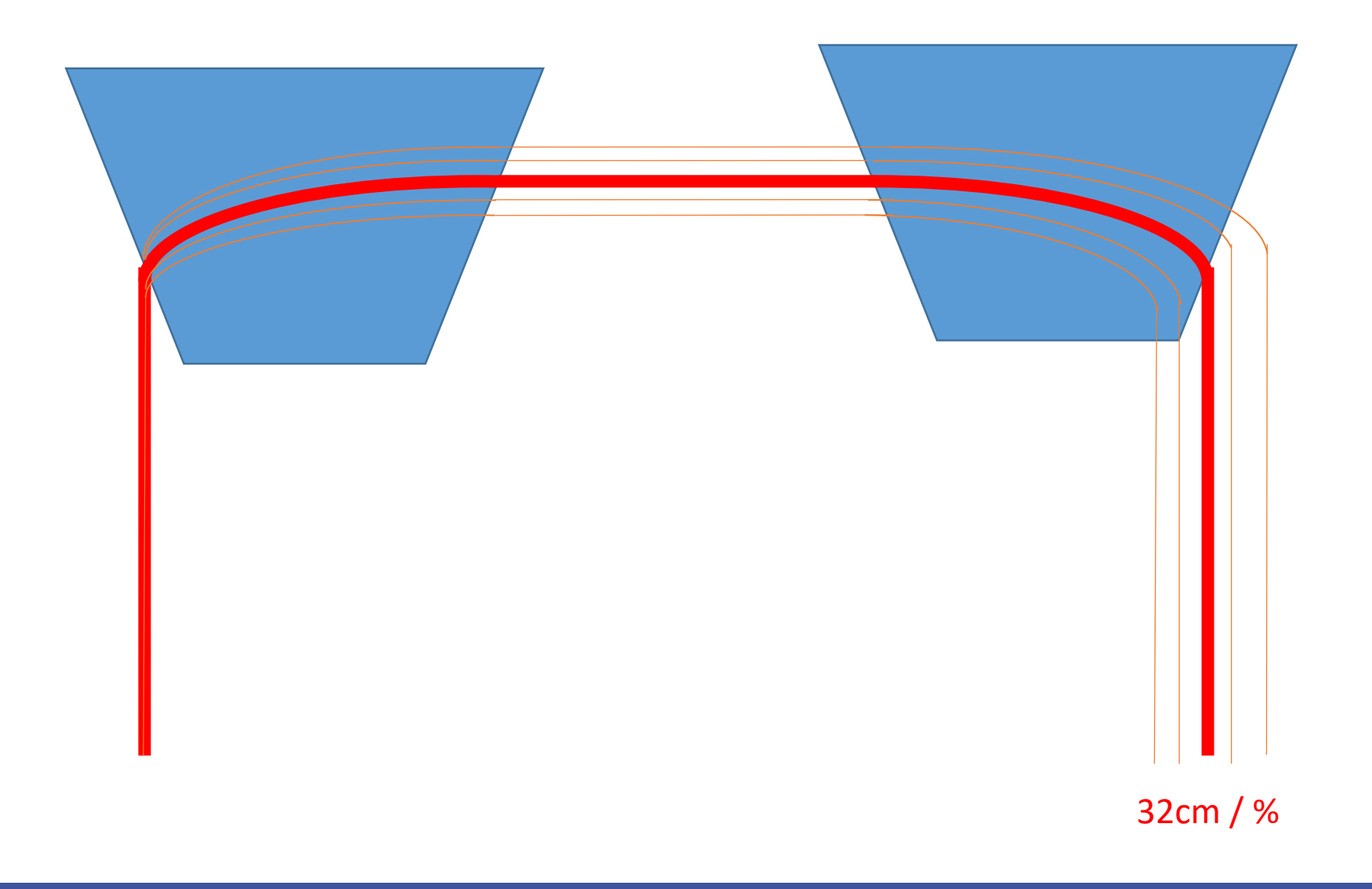
Le HRS de DESIR au CENBG



Hall de montage



HRS



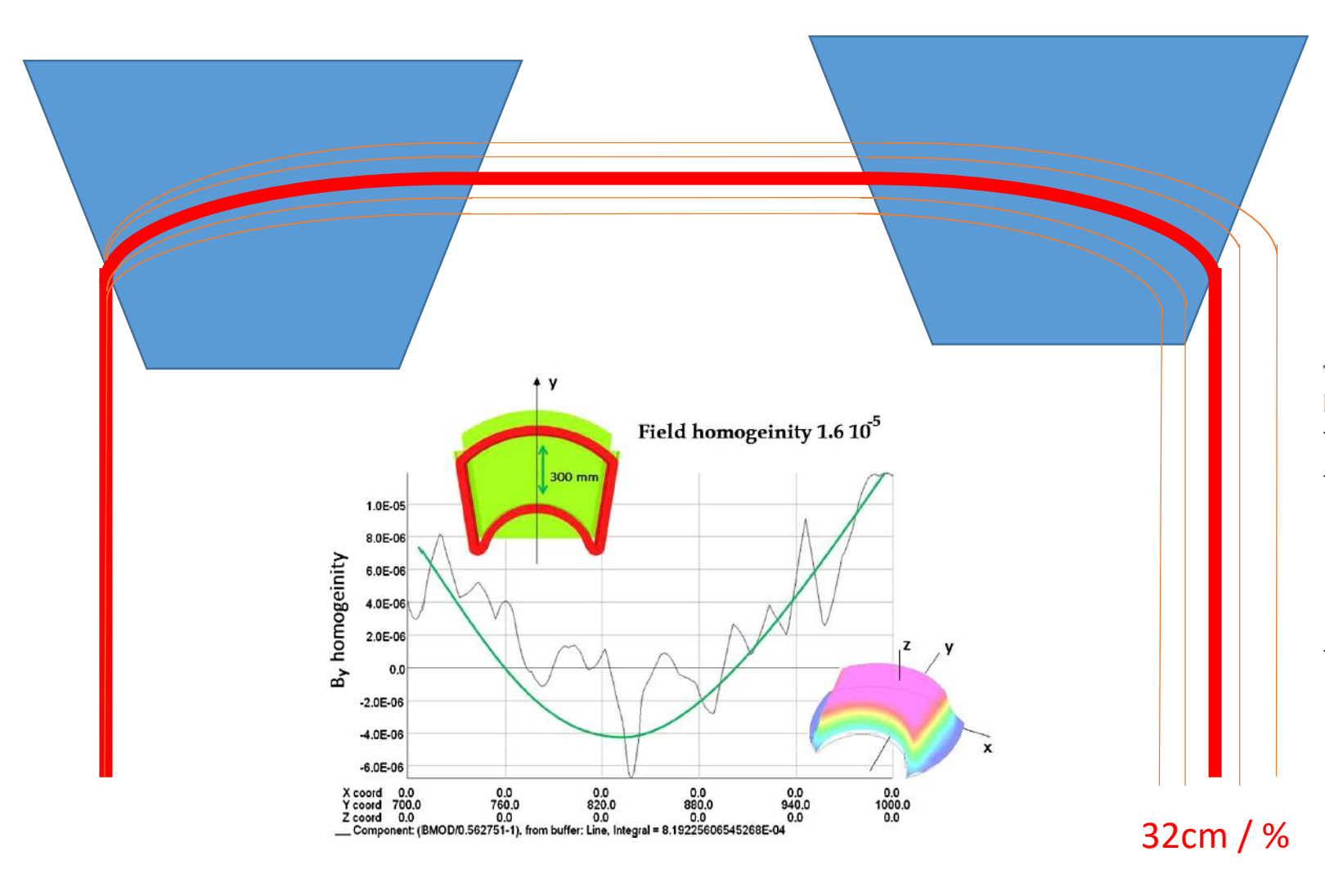
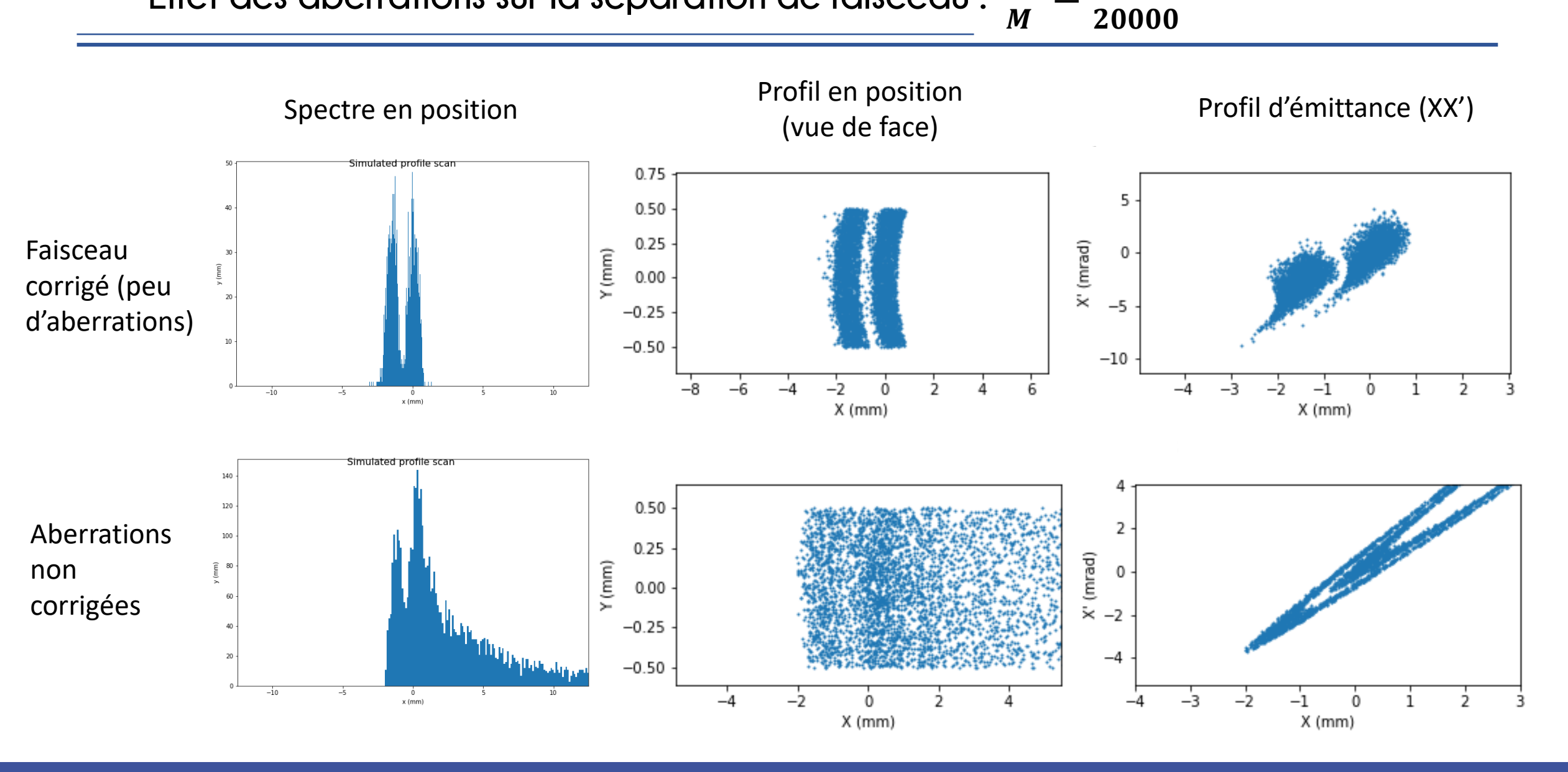


Table 3 Positioning precision tolerances for the DESIR-HRS.

	X shift (mm)	Y shift (mm)	X tilt (mrad)	Y tilt (mrad)	θ (mrad)
MQ	± 0.1	± 0.1	± 3.5	± 3.5	± 3.5
FS	± 0.1	± 0.1	± 0.35	± 3.5	± 3.5
FQ	± 0.1	± 0.1	± 0.35	± 3.5	± 3.5
D	± 0.1	± 0.1	± 0.35	± 3.5	± 3.5
M	± 0.1	± 0.1	± 3.5	± 3.5	± 3.5



Outils pour améliorer la résolution

La correction des aberrations passe par deux principales étapes :

1. Détecter + quantifier les aberrations : émittance-mètre



2. Corriger les aberrations : multipole



Sommaire

- 1. Présentation du HRS
- 2. Développements techniques
- 3. Résultats / conclusion

Emittance-mètre - fonctionnement général

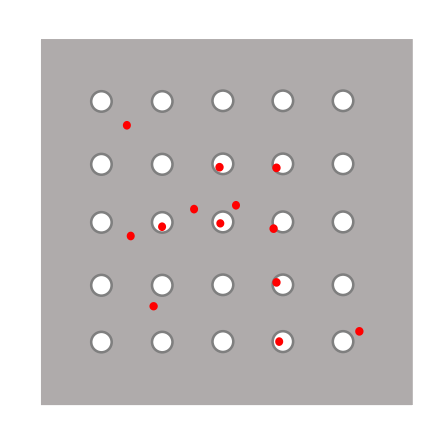


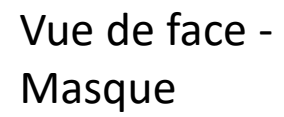


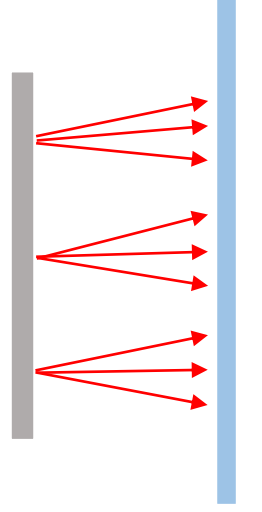
Emittance-mètre: pepperpot

- 40x21 holes

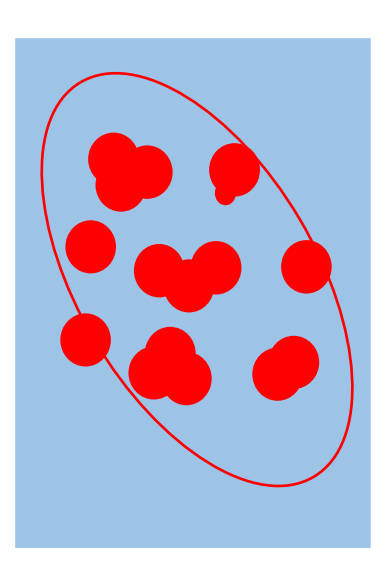
- 20 μm holes







Vue de profil



Vue de face -Caméra

Specifications de l'émittance-mètre

1. Masque de l'émittance-mètre :

- Structure en tantale de 200um d'épaisseur
- Trous de 20um percés au laser
- Set de masques dispo en spare avec inter-trous de 0.5/1/2mm

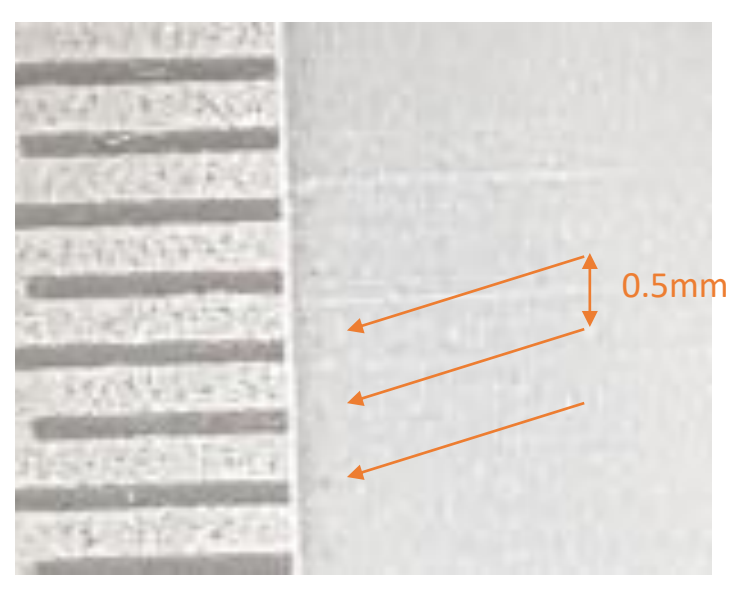
2. Visualisation du faisceau:

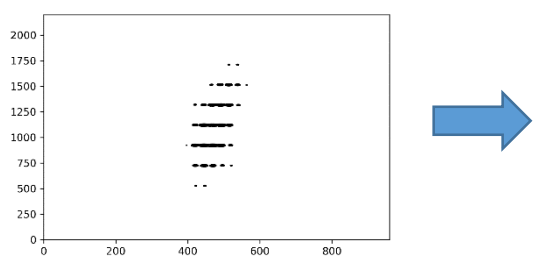
- Couple de Micro-Channel Plates
- Ecran phosphore
- Camera CCD

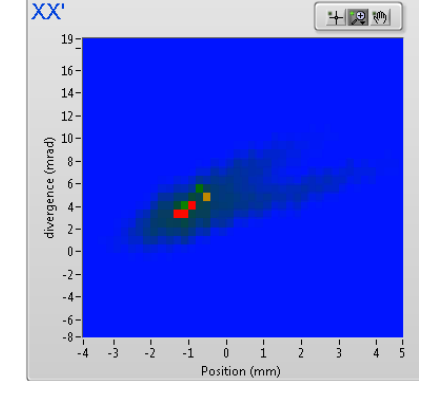


- Logiciel Pantechnik
- Codes python (J. Michaud)
- Logiciel CorrAb (A. Balana)









Problématique de l'émittancemètre actuel

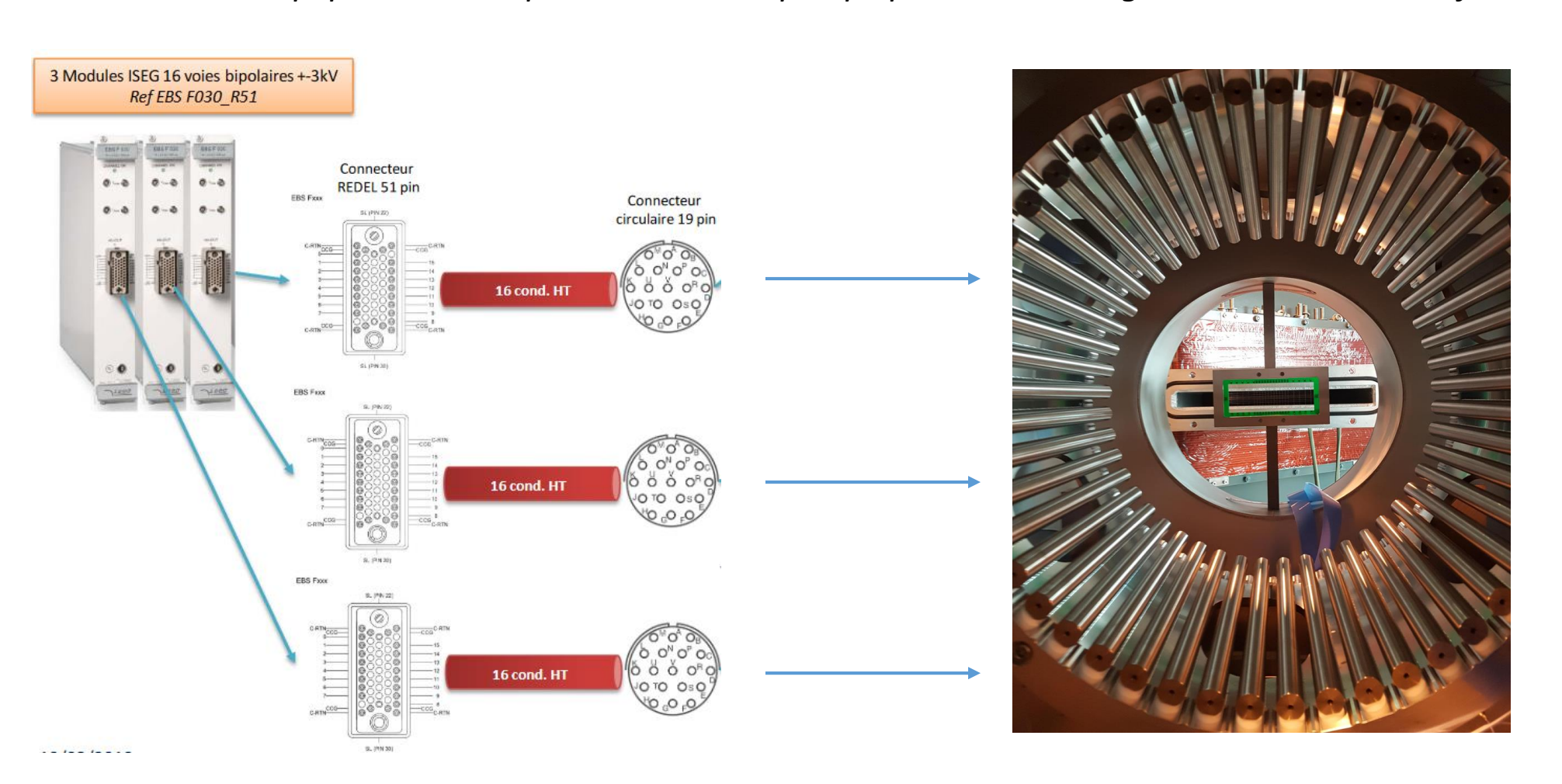
- Manque de précision, ne permet pas de voir les aberrations faisceau aussi bien que souhaité
- Acquisitions longues => pas de réglage « dynamique »
- Traitement d'image difficile (problème de mémoire) => Limité en points de mesure

Projet de développement d'un émittancemètre au CENBG

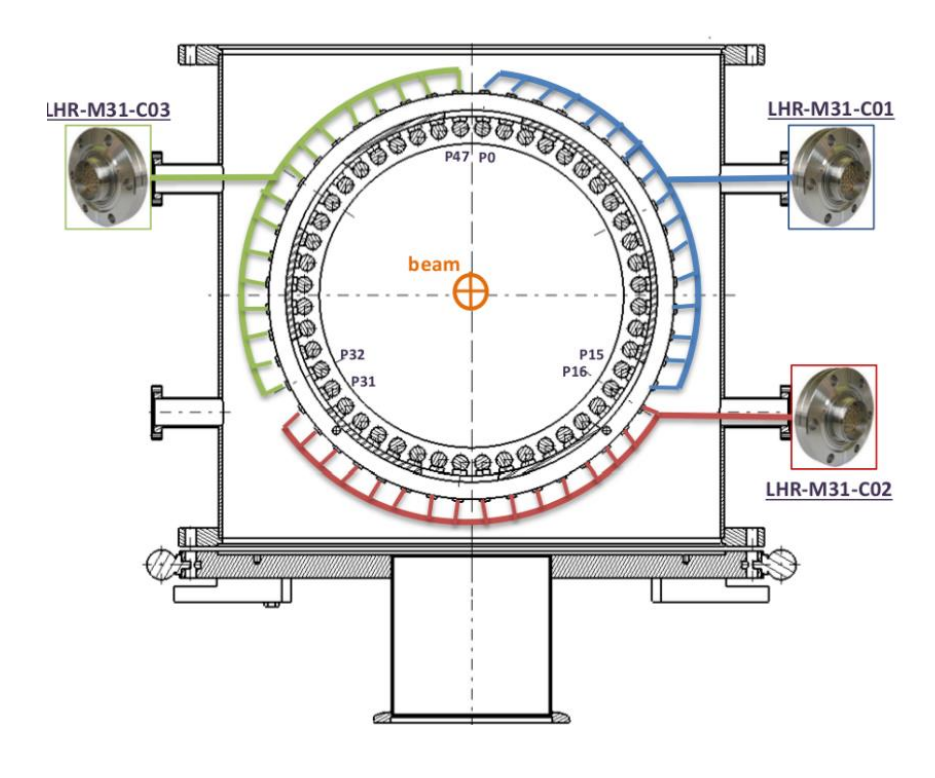
- Masque 2D permettant un scan rapide pour réglages dynamiques
- Logiciel d'acquisition et contrôle commande « faits maison », pas limité en mémoire
- Masque déplaçable pour un échantillonnage plus fin (mais plus long)
- Analyse en direct des figures d'émittances en passant par un logiciel unique (CC + analyse)
- Emittancemètre interfacé avec le <u>multipôle</u>

Multipôle electrostatique

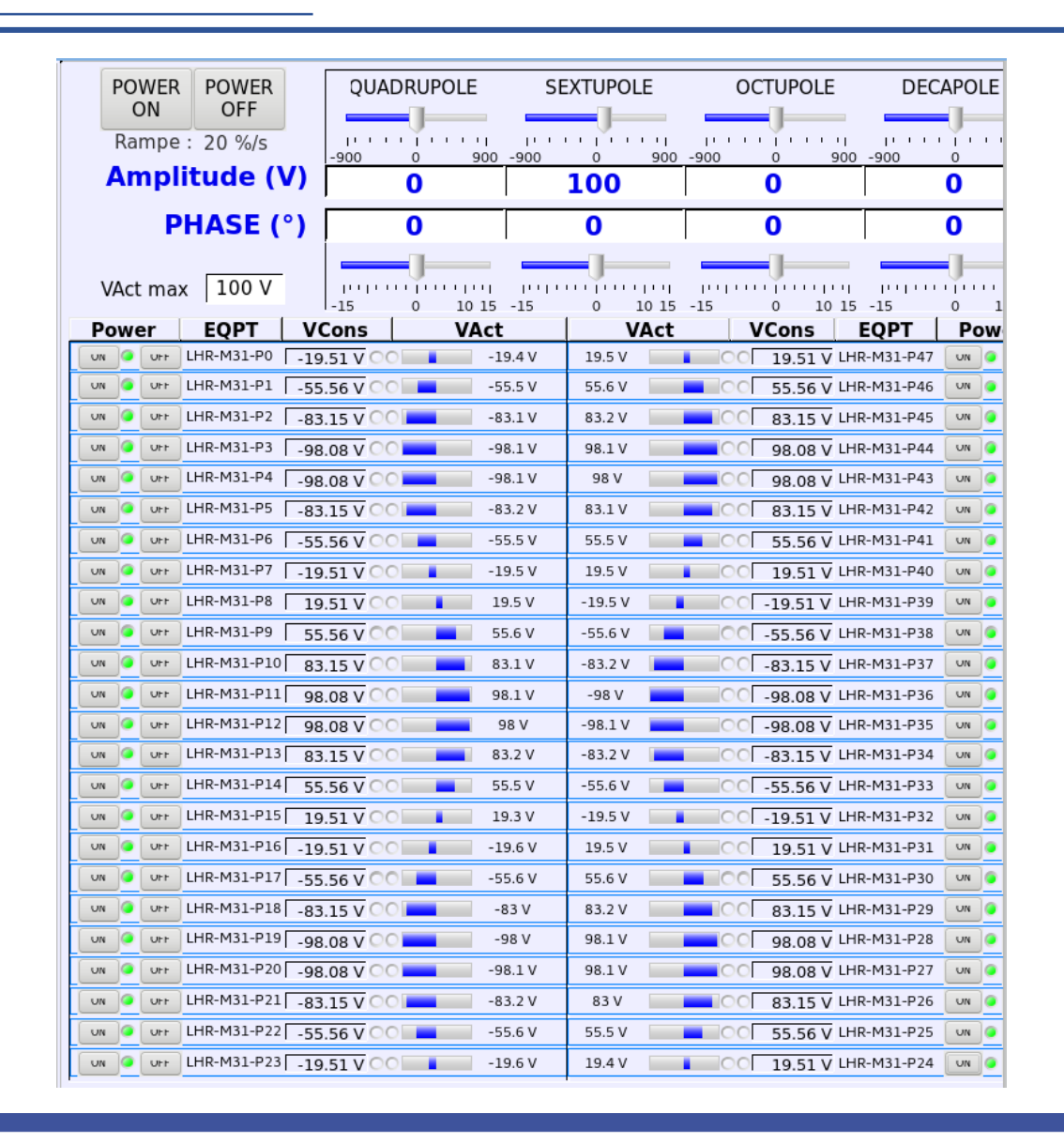
Le HRS est équipé d'un multipôle électrostatique qui permet de corriger les aberrations du faisceau



48 pôles!



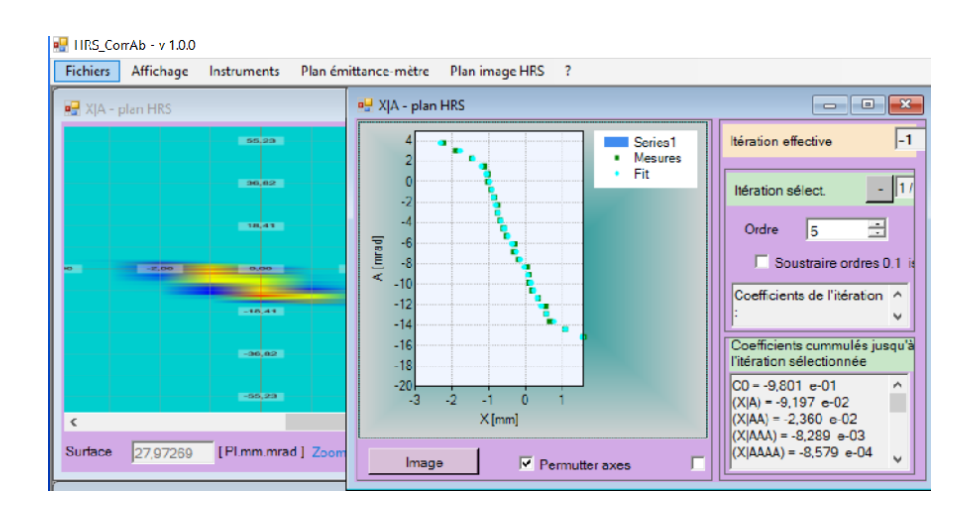
$$V(P) = \sum_{n=2}^{n} V_n \cdot \cos\left(n * \frac{2\pi(P - 12 + 0.5)}{48} + \phi\right)$$

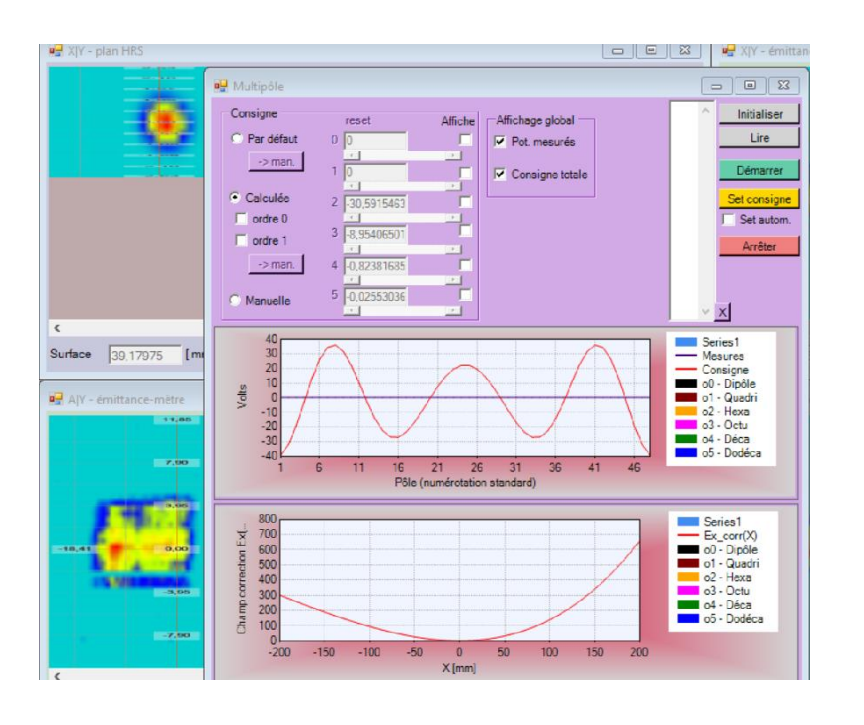


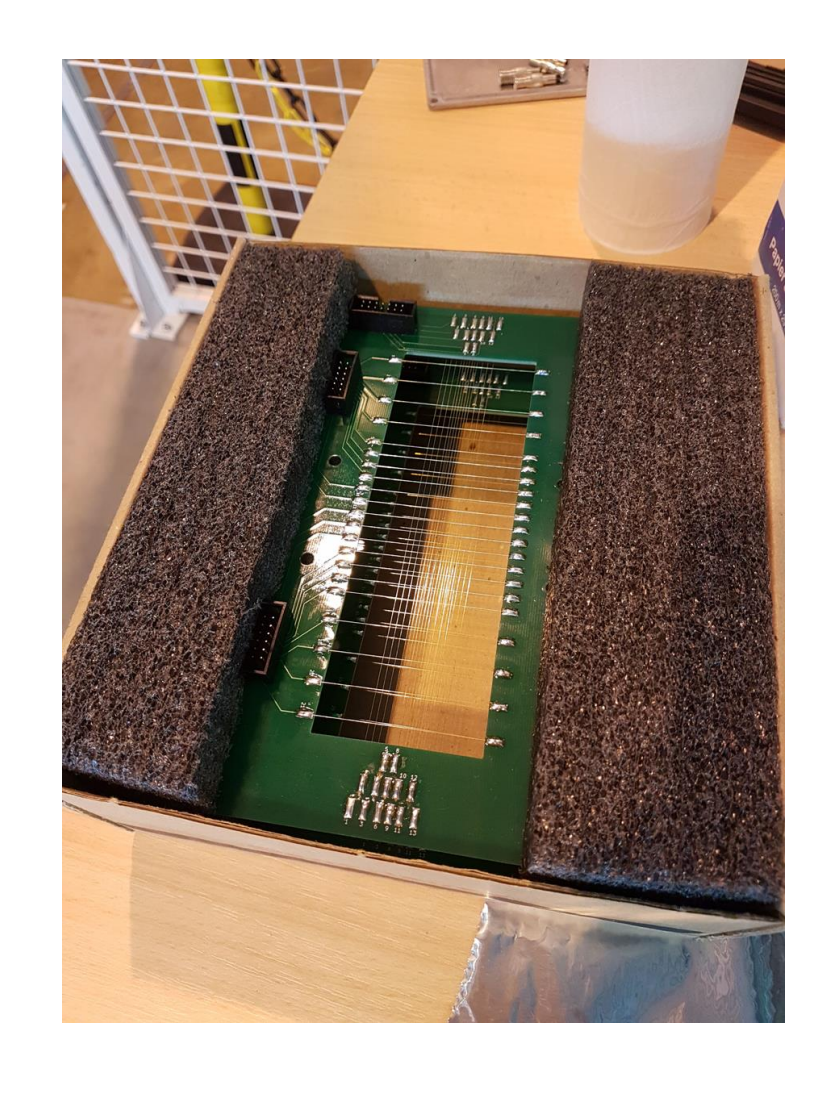
CorrAb permet d'analyser les données de la caméra de l'émittancemètre :

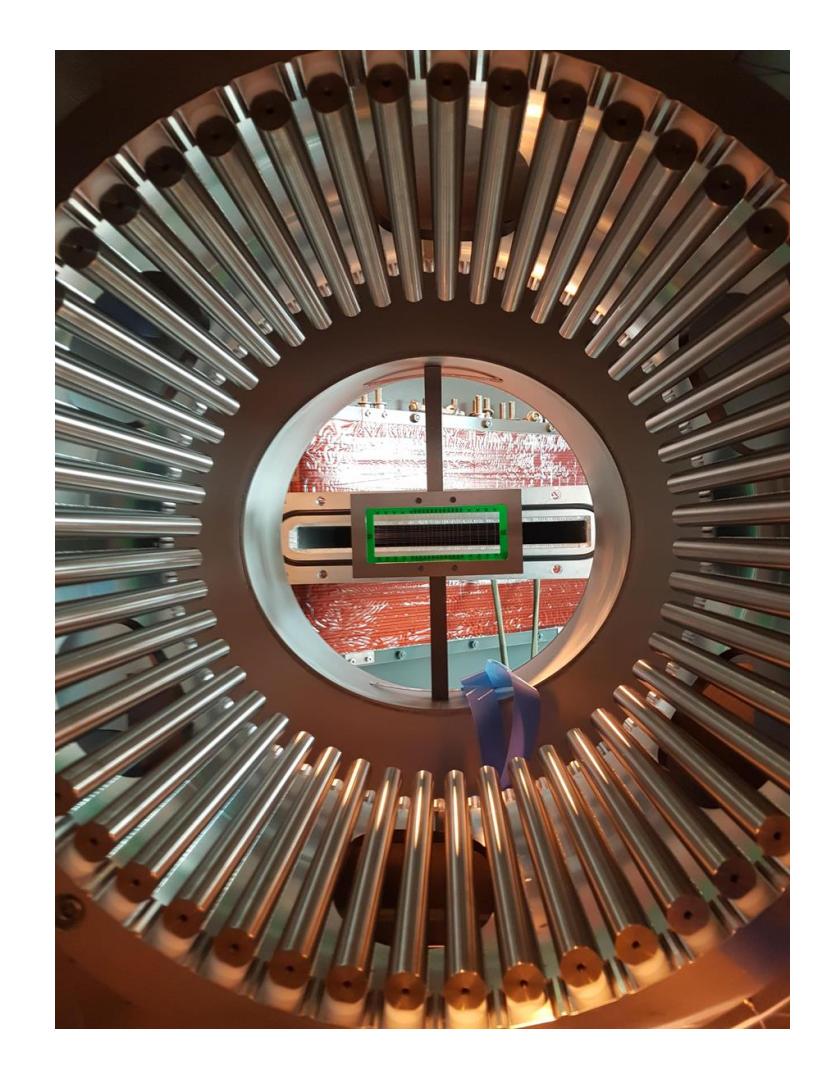
- Figures d'émittances au niveau de l'émittancemètre
- Figures d'émittances propagées au point image du HRS
- Analyse automatique de la figure d'émittance
- Envoi de commandes de tension au multipôle
- Processus itératif pour corriger les aberrations

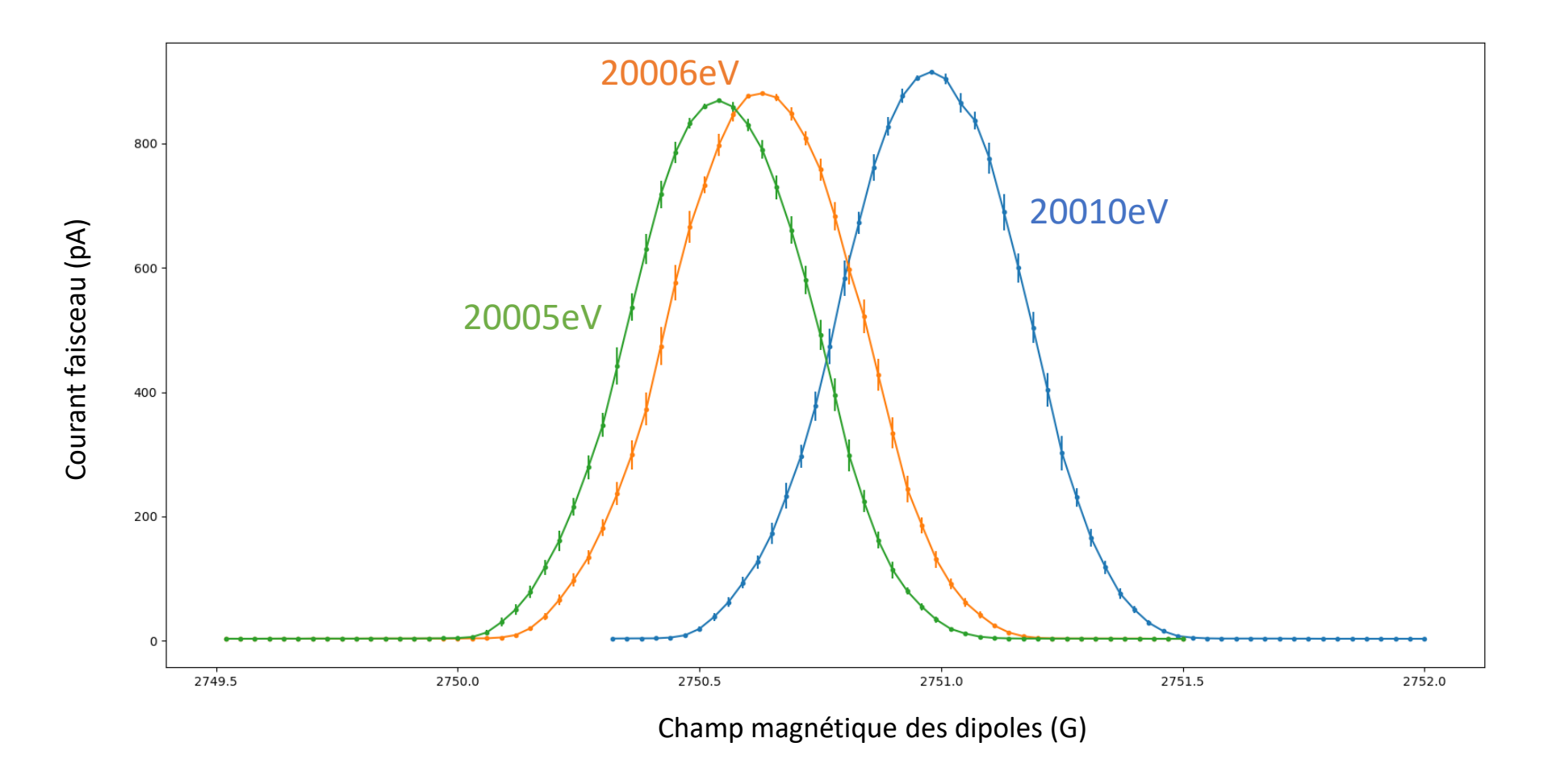
En développement!







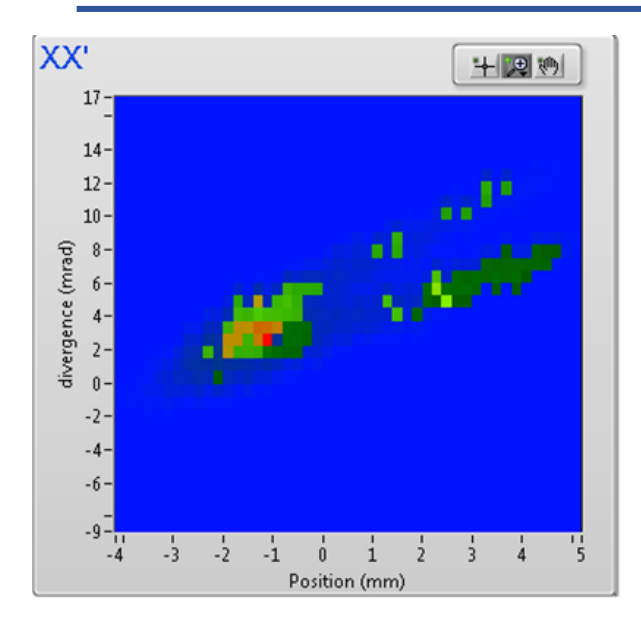


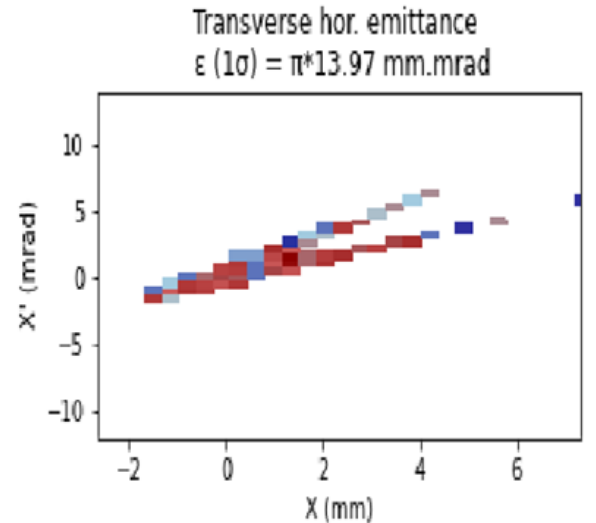


Besoin de diagnostiques précis pour le champ magnétique : sondes RMN

- 1. Présentation du HRS
- 2. Développements techniques
- 3. Conclusion/résultats

Figures d'émittance

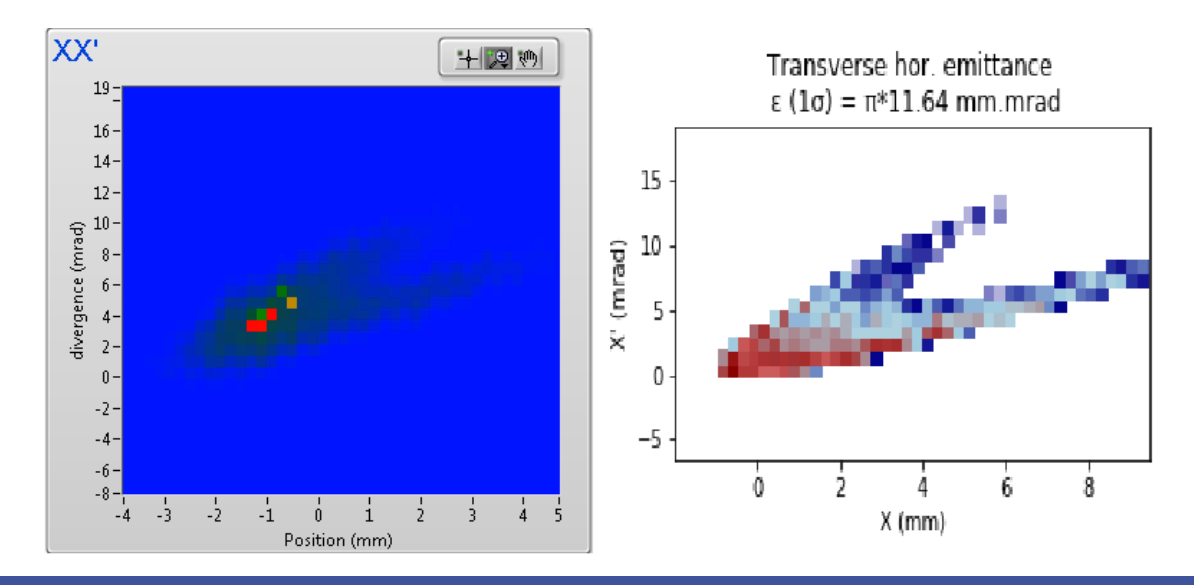


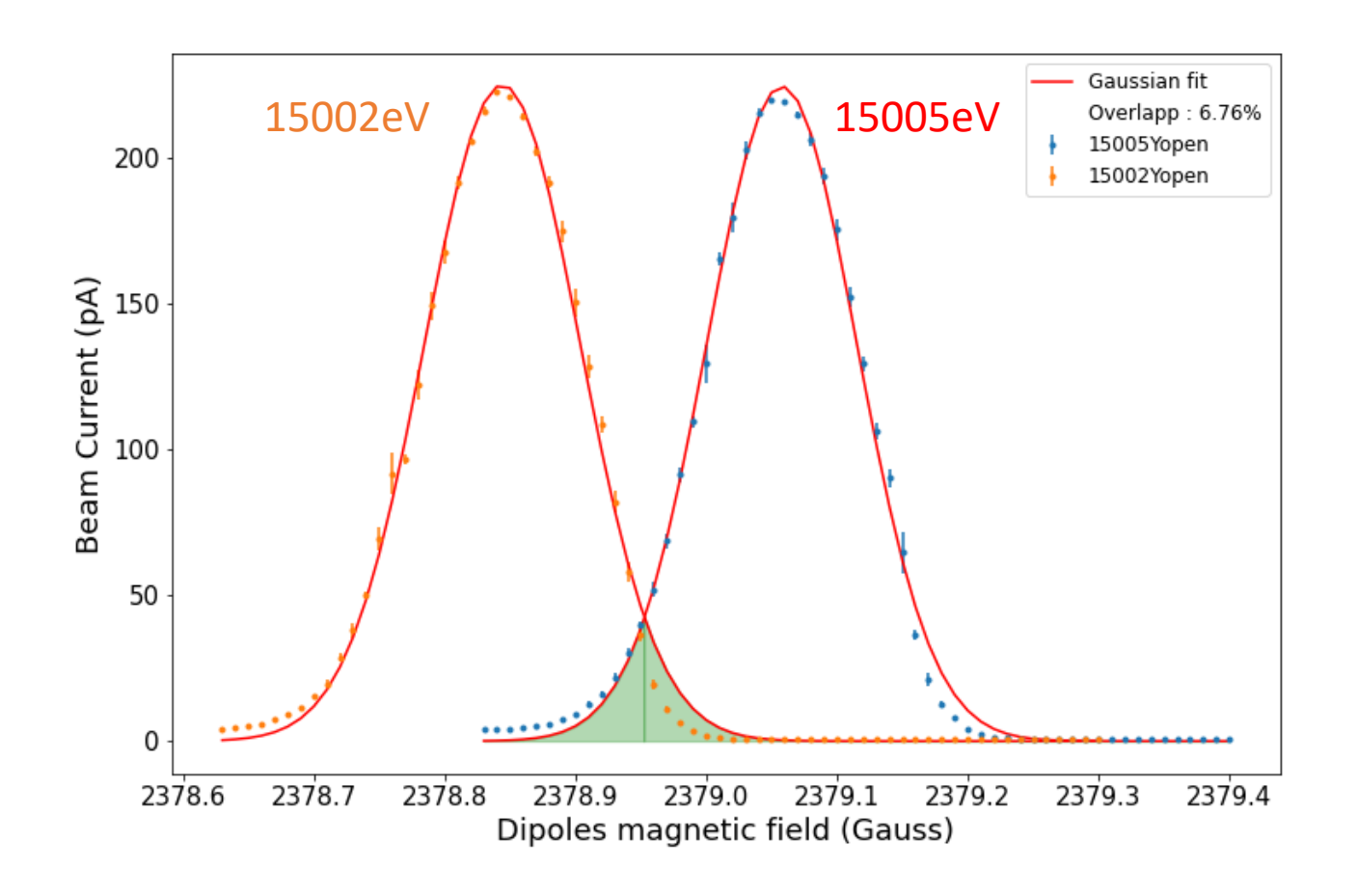


Résultats très concordants avec les simulations

Résolution de l'émittance-mètre semble suffisant (limite?) pour voir l'ordre 2.

→ Ordre 3 ???





$$R = 12500 \, !! \, (FWHM)$$

- $\epsilon = 3 4 \pi. mm. mrad$
- E = 25keV
- Transmission > 95%
- Faisceau de 1mm²
- $\frac{\Delta E}{E}$ < 10^{-5}

Conclusion

- Séparation de manière opérationnelle de R = 10000.
- Dans des cas spécifiques, une résolution meilleure peut être atteinte (HRS n'est non plus un outil, mais un instrument/detecteur d'expérience) avec un réglage plus fin fait par des experts + CorrAb.
- Résolution R >= 12500 à 20-25 keV → on devrait atteindre R = 20000 aux 60keV prévus pour DESIR.
- Transmission point-point > 90 % pour le HRS. On peut alors sacrifier la transmission pour booster la résolution. Exemple : Triumf R = 20000 pour fentes à 0.1mm .
- La résolution finale dépendra :
 - > De l'émittance d'entrée
 - > De l'énergie du faisceau
 - > De la dispersion en énergie du faisceau
 - > De l'ouverture des fentes / de la transmission tolérée
 - > Du degré de correction (+ de correction => plus de temps de réglages)

(R = 12500)

 $(\epsilon \sim 4 \pi.mm.mrad)$

(E = 25keV)

(<10^-5)

(1mm / > 90%)

(2nd ordre)